

Degrés des applications polynomiales de \mathbb{C}^2 .

Yoccoz Fouli 2008.

→ Décrite les propriétés dyn. de $F: \mathbb{C}^2 \rightarrow \mathbb{C}^2$ polynomiales. à l'infini.

• En dimension 1D :

(1) x $F(z) = z^d + G(z^{d-1})$.

près de l'infini $|F(z)| \sim |z|^d$.

$$\mathbb{C}^1 \subset \frac{\text{map } |F(z)|, 1\}}{\text{map } |z|, 1\}}^d \leq c$$

$$\frac{1}{d^n} \text{Log}^+ |F^n(z)| \rightarrow g_F \geq 0.$$

- $g_F \in \mathbb{Q}$ $g_F \circ f = d g_F$
- ~~...~~ $g_F(z) = \text{Log}|z| + O(1)$
- $\{g_F \geq 0\} = \mathbb{R}(\infty)$
- $\{g_F = 0\} = K_F = \{ |F^n| = O(1) \}$.

x sur $\text{Int}(K_F)$: dyn. complètement capotée.

sur $J_F = \partial K_F$: Δg_F mesure résonante

• En dimension 2 : $F: \mathbb{C}^2 \rightarrow \mathbb{C}^2$ dominante

x pas de théorie générale comme en 1D ~~...~~
divergents de phénomènes

↳ théorie de Fatou au point mar

↳ on se focalise sur étude ergodique de classe d'exemples.

ICI = dynamique près de l'infini → détermine en grande partie propriétés ergodiques de F

x Invariants : $F(x,y) = (P(x,y), Q(x,y))$

$$c, d_F(P), \lambda. \quad (c \leq \lambda \leq \lambda^2)$$

Exemple $F = (\text{Id}, d) + \text{Id}$ $\text{Id}^{-1}(0) \cap \text{Id}^{-1}(0) = (0)$

$$c = d^2 \quad \lambda = d$$

comme en 1D.

2/

20min

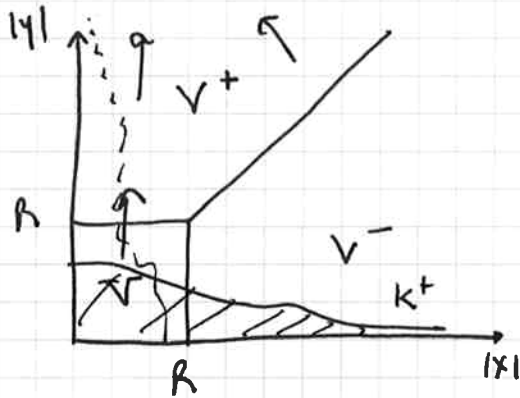
* Exemple 1 Hénon $(y, ax + y^2 + b)$ $a \neq 0$.

automorphismes de \mathbb{C}^2 . $e=1$ $d_2(P^n) = 2^n$.

$\Omega(\infty) \supseteq V^+$.

$K^+ = \text{non compact}$.

mais $K = K^+ \cap K^-$ compact.



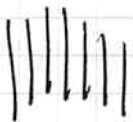
* Exemple 2 Produits cartésiens $F = (f(x), g(x, y))$.

$e = d \times \delta$

x^d, \dots $A(x) y^\delta, \dots$ $\lambda = \max\{d, \delta\}$

$$\begin{cases} + g_E \\ - g = \lim_{\delta \rightarrow 0} \frac{1}{\delta^n} \text{Log}^+ |\mathcal{Q}_n(x, y)| \end{cases} \quad \{g_E > 0\} \subseteq \Omega(\infty)$$

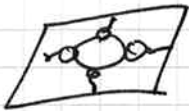
existe sur K_E $\forall \delta \geq 2$



~~...~~

$$\mu_E = \Delta g_E$$

$$\text{pp. } x \quad \mu_x = \Delta_y g(x, y)$$



$$\int_X \mu_F = \int \left[\int_X d\mu_x \right] d\mu_E(x) \quad \mu \text{ régulier.}$$

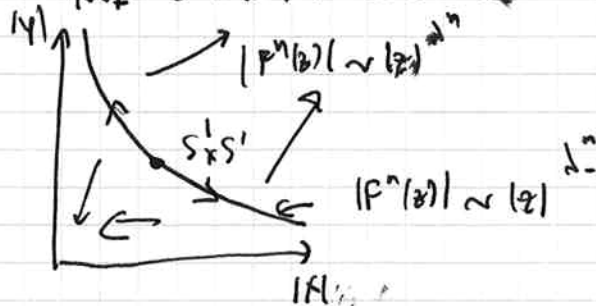
$\text{Supp}(\mu)$ compact $\Leftrightarrow A^{-1}(\emptyset) \cap J_E = \emptyset$.

Ex $F = (x^2, (x-1)y^3)$ il existe $z = z(x, y)$ $|F^n(z)|$ non borné mais ne tend pas vers l'infini.

* Exemple 3 monomiale $f(x, y) = (x^a y^b, x^c y^d)$

$e = |d_1(n)|$ $d = \rho(n)$ entier quadratique.

$$|\mathcal{P}_+^n| > |\mathcal{P}_-^n| > 1 \quad \text{ie} \quad d^2 > e > \lambda$$



2 vitesses de convergence vers l'infini.

3/ ~~Thm~~ ~~F: C^2 -> C^2~~

~~à éviter quadratique.~~

10/ Motivation pour étude de la suite $\{ \deg(F^n) \}$.

construction $\frac{1}{d^n} \text{Log}^+ |F^n(z)| \rightarrow 0$ sauf si $\deg(F^n) = d^n \forall n$.

sinon on peut tenter $\frac{1}{\deg(F^n)} \text{Log} |F^n(z)|$ mais pas clair si ça converge.

① **Thm** $F: \mathbb{C}^2 \rightarrow \mathbb{C}^2$ dominant
 * d entier quadratique.
 * $\sum \deg(F^n) T^n \in \mathbb{Z}(T)$.

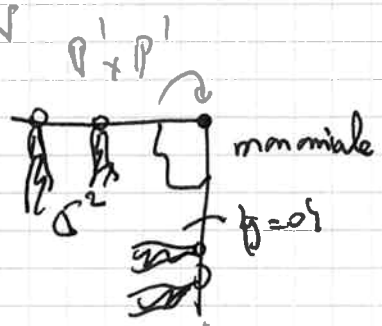
② **Thm** $F: \mathbb{C}^2 \rightarrow \mathbb{C}^2$ dominant.
 * soit $\deg(F^n) \leq \lambda^n$
 * soit $F = (x^d + G(x^{d_1}), A(x)^d + G_x(x^{d_1}))$ $\deg A \geq 2$ [$\lambda^2 = e$]

③ **Cor** Si $\deg(F^n) \leq \lambda^n$ $g_F^{\text{log}} = \lim \frac{1}{\lambda^n} \text{Log}^+ |F^n(z)|$ existe $\neq 0$.

→ peu d'informations sur $\{g_F(z)\}$.
 → dit g_F constant mais pas clair comment avec une mesure.

④ **Thm** $F: \mathbb{C}^2 \rightarrow \mathbb{C}^2$ $\lambda > e$.
 [• $\{g_F > 0\}$ ouvert
 • $\{z \in \mathbb{C}^2 \mid g_F = 0\}$ $\text{Log}^+ |F^n(z)| \leq (e+\epsilon)^n C(\epsilon)$]

Contenu géométrique $\lambda \notin \mathbb{N}$



en fait \exists compactification de \mathbb{C}^2 où l'on a ça.

→ Exemples de Vigny DDS lorsque $\lambda \notin e$. $\exists F \forall \epsilon \in [0, \deg(F)] \exists z \quad |F^n(z)| \propto |z|^\epsilon$

Propriétés ergodiques et d/e .

10 min

$\lambda^2 \geq e$

~~...~~

$$\left[\begin{array}{l} \lambda^2 = e \\ \lambda^2 > e > \lambda \\ e = \lambda \\ \lambda > e \end{array} \right.$$

① $\lambda > e$ (cas de Hénon) Dajard et Oller Guets.

$h_{top} = \text{Log } \lambda = h_{\mu}(F)$ $\mu = \text{dd}^c g_F \wedge T_-$

densité des pts hyperboliques

$Lyap. \geq \frac{1}{2} \text{Log } \lambda > 0 \geq \frac{1}{2} \text{Log } \frac{e}{\lambda} \geq Lyap.$

② $\lambda^2 > e > \lambda$ BD - Guets. (produit cartésien)

$h_{top} = \text{Log } e = 3$! mesure entropie maximale

$\mu = \text{equidistribuee mesure des pts.} = \lim_{n \rightarrow \infty} \frac{1}{e^n} (P^n)_* \sigma_2$

= densité des pts repulsifs



$Lyap. \geq \frac{1}{2} \text{Log } \lambda.$

~~...~~

③ $\lambda^2 = e$

thm de classification.

① soit $h_{top}(P^n) \neq 1^n$ [si F produit cartésien]

② soit F^2 hol. dans \mathbb{C}^2 une compactification de \mathbb{C}^2 même résultat qu'en ① dès que $e > 1$.

④ $e = \lambda$?

Conj. $h_{top}(F) = \text{Log } e$? \exists mesure d'entropie maximale?

Pense

5/ Idées de preuves des ~~thms~~ thms 1 & 2 = 'étudier' $\{ \deg(F^n) \}$.

→ purement algébriques (peu de dynamique).

• deux techniques

↓ espace de valuation : dynamique dans un arbre \mathbb{R} .

↓ cohomologique : action d'un opérateur sur un Hilbert.

Observation fondamentale (F-5)

$$F = (\mathbb{R}, \mathbb{Q}) = \mathbb{C}^2 \quad \left[\mathbb{R} \left(\frac{x}{z}, \frac{y}{z} \right) \cong \mathbb{Q} \left(\frac{x}{z}, \frac{y}{z} \right) \cong \mathbb{Z}^d \right] : \mathbb{P}^2 \mathbb{S}.$$

rationnelle, $\mathbb{I}(F)$.

$$\text{fait } \deg(F^n) < d(F)^n \Leftrightarrow F(L_0) \subseteq \mathbb{I}(F).$$

idée = regarder ce qui se passe en $\mathbb{I}(F)$.

→ éclatements.

On fait apparaître d'autres diviseurs et on doit comprendre l'action de F sur ces diviseurs.

valuations $\{ \text{diviseurs} \} \subseteq \text{espace fonctionnel} \supset F^*$

$$\mathcal{V} = \left\{ v : \mathbb{C}[x, y] \rightarrow \mathbb{R} \text{ valuation } \min \{ v(x), v(y) \} = -1 \right\}.$$

$$L_\infty \leftrightarrow -\deg.$$

$$E \leftrightarrow \frac{1}{\beta_E} \text{ ord}_E$$

$$F_* v(\phi) = v(\phi \circ F)$$

$$- \min \{ (F_* v)(x), (F_* v)(y) \} = d(F, v). \quad F_* : \mathcal{V} \rightarrow \mathcal{V}$$

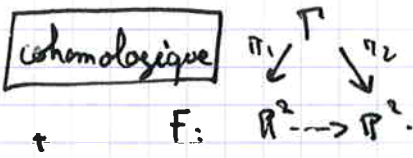
~~$$F_* v = (F^* v)$$~~

$$(F^n)_* = (F^*)^n$$

$$\deg(F^n) = d(F^n, -d_0) = \prod_{k=0}^{n-1} d(F, F_*^k d_0).$$

Dynamique de F_* sur \mathcal{V} + fait que $d(F, \cdot)$ simple permet de conclure (\mathcal{V} est un arbre)

6/



$$F^\# : H^2(\mathbb{P}^2) \rightarrow H^2(\mathbb{P}^2)$$

$$F^\# = dg(F)$$

$$F^\# \circ L_\infty \circ L_\infty = dg(F)$$

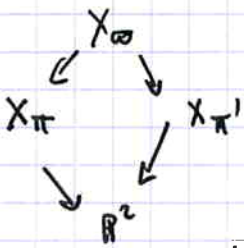
Malheureusement

$$(F^\#)^n \neq (F^n)^\#$$

!

+ On plonge $H^2(\mathbb{P}^2)$ dans un Hilbert de dimension ∞ pour lequel $(F^\#)^n \simeq (F^n)^\#$.

$$dg(F^n) = (F^n)^\# \circ L_\infty \circ L_\infty$$



$$\mathcal{B} = \{ \pi: X_\pi \rightarrow \mathbb{R}^2 \}$$

$$H^2(X_\pi) \leftarrow H^2(\mathbb{P}^2).$$

$$\lim_{\leftarrow} H^2(X_\pi) \ni \alpha = \{ \alpha_\pi \in H^2(X_\pi), \mu_\pi \alpha_\pi = \alpha_{\pi'} \}$$

$$\lim_{\rightarrow} H^2(X_\pi) \ni \alpha = \{ \alpha_\pi, \alpha_\infty = \mu^\pi \alpha_\pi \}$$

$\mathcal{H} =$ complétion de $\lim_{\rightarrow} H^2(X_\pi)$ pour l'intersection.

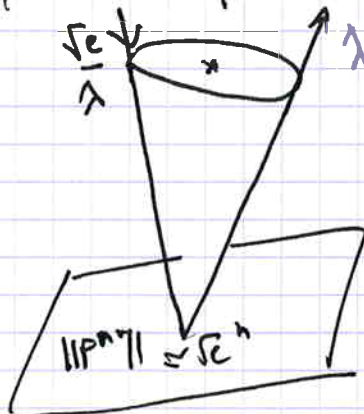
$$= \mathbb{R} \sum_{v \in \mathcal{B}} \oplus \mathbb{R} E_v \quad (+1, -1, -1, \dots -1). \quad \text{Minkowski.}$$

$$\begin{array}{l}
 F^\pi \alpha \cdot F^\pi \beta = e(\alpha, \beta) \\
 F^\pi \alpha \cdot \beta = \alpha \cdot F_\pi \beta.
 \end{array}$$

$$d = \rho(F^\pi).$$

$$n \lambda \leq \sqrt{e}$$

$$\frac{1}{\sqrt{e}} F^\pi \text{ is orthonormal}$$



$$F^\pi \circ L_\infty \circ L_\infty \simeq \mathcal{H}^n$$